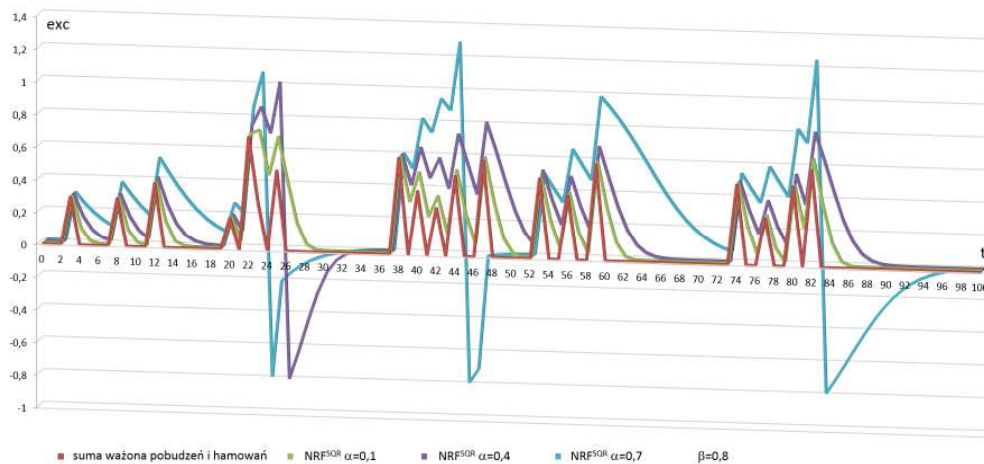


Rys. 8.2 Porównanie parametrów wagowych dwóch grafów ANAKG zbudowanych dla tych samych 5 sekwencji uczących z tą różnicą, że w dolnym przypadku niektóre sekwencje uczące zostały zaprezentowane wielokrotnie w trakcie procesu adaptacji tego grafu, co wpłynęło na zmianę wartości wag.



Rys. 8.3 Dyskretne funkcje relaksacji neuronu $NRF_{\alpha,\beta}^{SOR}$ (8.5) umożliwiające modelowanie relaksacji i refrakcyjności, określające stan asocjacyjnego neuronu w zależności od sumy zewnętrznych pobudeń lub hamowań różnych chwilach czasu t oraz współczynników $\alpha = 0,1$, $\alpha = 0,4$, $\alpha = 0,7$ i $\beta = 0,8$.